

## مقاله پژوهشی

## مقایسه کارائی پامیس طبیعی و اصلاح شده با آهن در حذف رنگ Reactive Black5

علیرضا مصدقی نیا<sup>۱</sup>، امیر حسین محوى<sup>۲</sup>، مهدی فضل زاده<sup>۳</sup>، محمد هادی دهقانی<sup>۴</sup>، بهزاد هیبتی<sup>۵\*</sup>، زینب سام دلیری<sup>۶</sup>، محمد آقانژاد<sup>۷</sup>

<sup>۱</sup> استاد، گروه مهندسی بهداشت محیط، دانشگاه علوم پزشکی تهران، تهران، ایران  
<sup>۲</sup> استادیار، گروه مهندسی بهداشت محیط، دانشگاه بهداشت، دانشگاه علوم پزشکی تهران، تهران، ایران  
<sup>۳</sup> کارشناس ارشد مهندسی بهداشت محیط، دانشگاه بهداشت، دانشگاه علوم پزشکی اردبیل، اردبیل، ایران  
<sup>۴</sup> دانشیار، گروه مهندسی بهداشت محیط، دانشگاه علوم پزشکی تهران، تهران، ایران  
<sup>۵</sup> مری، گروه مهندسی بهداشت محیط، دانشگاه علوم پزشکی اردبیل، اردبیل، ایران  
<sup>۶</sup> کارشناس ارشد، بالگاه پژوهشگران جوان، دانشگاه آزاد اسلامی چالوس، چالوس، ایران  
<sup>۷</sup> کارشناس ارشد مهندسی بهداشت محیط، دانشگاه علوم پزشکی تهران، تهران، ایران  
<sup>\*</sup> نویسنده مسئول: تهران، میدان انقلاب، دانشگاه علوم پزشکی تهران، دانشگاه بهداشت، طبقه پنجم، گروه مهندسی بهداشت محیط  
پست الکترونیک: bheilbati@gmail.com

وصول: ۹۱/۲/۱۸؛ اصلاح: ۹۱/۴/۲۷؛ پذیرش: ۹۱/۵/۲۵

## چکیده

**زمینه و اهداف:** پساب صنایع به خصوص صنایع نساجی یکی از عمدۀ ترین منابع آلودگی‌های محیط زیست به شمار می‌رond. هدف از این مطالعه مقایسه حذف رنگ Reactive Black5(RB5) با استفاده از پامیس طبیعی و اصلاح شده با آهن و تعیین ثابت تعادل می‌باشد.

**مواد و روش:** ویژگی‌های ساختاری و مورفولوژیکی پامیس طبیعی و اصلاح شده با آهن با استفاده از تکنیکهای پراکنش پرتو ایکس XRD و SEM مورد بررسی قرار گرفت. بعد از آماده سازی جاذب‌ها، جذب رنگ Reactive Black5 روی جاذبهای پامیس طبیعی و اصلاح شده با آهن در دمای آزمایشگاه و به صورت ناپیوسته صورت گرفت. یافته‌های pH بهینه در این تحقیق ۳ ب دست آمد. نتایج حاصله نشان داد که جذب رنگ RB5 با استفاده از پامیس طبیعی و اصلاح شده با آهن به ترتیب از معادله ایزوترمی فروندولیخ ( $R^2 > 0.98$ ) و لانگمویر ( $R^2 > 0.98$ ) پیروی می‌کند. با استفاده از مدل لانگمویر حداکثر طرفیت جذب این رنگرا با استفاده از پامیس طبیعی و اصلاح شده با آهن به ترتیب ۱/۱۱ و ۰/۰۳ میلی گرم بر گرم از جاذب به دست آمد.

**نتیجه‌گیری:** بطور کلی نتایج حاصل از این پژوهش نشان داد که پامیس اصلاح شده با آهن در مقایسه با پامیس طبیعی راندمان کمتری در حذف RB5 داشته و می‌توان از پامیس طبیعی به عنوان یک جاذب ارزان قیمت و موثر در حذف رنگهای آزو از پساب صنایع نساجی استفاده کرد.

**واژه‌های کلیدی:** Reactive Black5، پامیس اصلاح شده، ایزوترم لانگمویر و فروندولیخ

**مقدمه**  
رنگی در صنایع مختلفی از جمله صنایع نساجی و رنگزی، صنایع داروسازی، صنایع غذایی، تولید مواد آرایشی و بهداشتی، کاغذ سازی، چرم سازی و صنایعی از این قبیل تولید می‌شوند [۱]. در فرآیندهای رنگزی، در حدود ۱۵ درصد از کل رنگ تولید شده وارد فاضلاب می‌شود و

صنایع نساجی یکی از عمدۀ ترین صنایع پایه هر کشور محسوب می‌شود و معمولاً مشخصه اصلی پساب این نوع صنایع، رنگی بودن آنها می‌باشد، که به دلیل استفاده از مواد رنگی در این گونه صنایع می‌باشد. فاضلاب‌های

آب شناور می باشد. مقدار سیلیکای موجود در پامیس بسیار بالا ( $70\text{-}60$  درصد  $\text{SiO}_2$ ) می باشد. درجه سختی پامیس  $5\text{-}6$  واحد بر طبق درجه موهوس می باشد [۱۳]. بنابراین در این تحقیق کارائی پامیس طبیعی و اصلاح شده با آهن برای حذف رنگ RB5 استفاده خواهد شد.

### روش کار

مطالعه مورد نظر یک مطالعه کاربردی است که به صورت ناپیوسته در مقیاس آزمایشگاهی در دانشکده بهداشت دانشگاه علوم پزشکی تهران انجام گرفت. متغیرهای مورد بررسی در این پژوهش شامل pH (۳، ۷، ۹، ۱۱)، زمان تماس (۵ تا ۱۲۰ دقیقه) و ایزوترم‌های جذب می باشند. در مجموع برای هر کدام از مواد پامیس طبیعی و پامیس اصلاح شده با آهن ۳۶ نمونه انتخاب شد. رنگ مورد استفاده در این پژوهش از شرکت الوان ثابت همدان تهیه گردید. مشخصات رنگ RB5 در جدول ۱ نشان داده شده است. همانطور که در ساختار مولکولی مشخص است رنگ RB5 حاوی دو گروه سولفاتانات و دو گروه سولفاتواتریل سولفون می باشد [۱۵]. برای انجام آزمایش‌ها مقدار ۰.۵۰ نمونه با غلظت مشخص توسط استوانه مدرج برداشته و داخل اrlen ریخته شد، در صورت نیاز به تنظیم pH، با استفاده از HCl و NaOH یک نرمال، pH محلول تنظیم شد. تمامی مراحل نمونه برداری و انجام آزمایش‌ها بر اساس روش‌های موجود در کتاب استاندارد متدهای چاپ بیستم انجام شد.

### مشخصات جاذب مورد استفاده

در این تحقیق جهت تعیین مشخصات جاذب، ویژگیهای ساختاری و مورفولوژیکی پامیس طبیعی و اصلاح شده با آهن از تکنیکهای متداول فلورسانس پرتو ایکس XRF و میکروسکوپ الکترونی SEM مدل XL30 ساخت شرکت فیلیپس از کشور هلند و سیستم آنالیز edx استفاده گردید که نتایج ساختار و آنالیز آن در جدول نشان داده شده است. طیف عناصر تشکیل دهنده پامیس بر اساس آنالیز XRF نشان می دهد که قسمت عمده ساختار پامیس از کوارتز با فرمول شیمیایی  $\text{SiO}_2$  تشکیل شده است که  $74\text{/}0.5$  درصد از ساختار پامیس را تشکیل می دهد مقایسه نتایج این مطالعه با یافته‌های سایر محققین مطابقت دارد [۱۴، ۱۵]. ولی بر اساس آنالیز SEM پس از

فضلاهای رنگی به این صورت تشکیل می گردد [۲]. اغلب رنگهای مورد استفاده در این صنایع از نوع رنگ‌های سنتیتیک می باشند. معمولاً رنگ‌های سنتیتیک به انواع رنگ‌های اسیدی، رنگ‌های راکتیو، رنگهای مستقیم، رنگ‌های بازی و سایر گروهها تقسیم بندی می شوند [۳]. مواد رنگزای مختلفی در صنایع استفاده می شود که معمول ترین آنها رنگ‌های گروه آزو می باشد. رنگهای آزو یکی از بزرگترین گروه رنگهای سنتیتیک را به خود اختصاص داده که دارای یک یا تعداد بیشتری باند آزو - N-N- می باشند [۴]. تخمین زده می شود که سالانه در حدود ۵۰ درصد رنگهای تولیدی در جهان (۷۰۰۰۰۰ تن) از نوع آزو باشند [۴، ۵]. مواد رنگ زای گروه آزو معمولاً دارای یک یا چند پیوند آزو (N-N-) می باشند و به دلیل ارزان بودن، رنگزای ساده و سمیت کمتر به طور گسترده‌ای، برای رنگ رزی الیاف مورد استفاده قرار می گیرد [۶، ۷]. عمدتاً مواد رنگ زا دارای یک یا چند حلقه بنزنی می باشند که به دلیل سمی بودن و دیر تجزیه بودن، چنانچه بدون تصفیه وارد محیط شوند می توانند خدمات جبران ناپذیری به محیط زیست وارد کنند. تاکنون روش‌های مختلفی از جمله روش‌های بیولوژیک، فرایند‌های غشایی، و فرایند‌های اکسیداسیون پیشفرته و سایر روش‌های برای تصفیه اینگونه پساب‌ها مورد استفاده قرار گرفته است [۸، ۹]. فرایند جذب سطحی یکی از معمولترین فرایند مورد استفاده در تصفیه آب و فاضلاب می باشد. معمولاً فرایند جذب سطحی بروی کربن فعال انجام می گیرد. عمدتاً ترین روش برای حذف آلاینده‌های آلی استفاده از کربن فعال به عنوان یک جاذب می باشد. بنابراین استفاده از جاذب‌های طبیعی و ارزان قیمت بجای کربن فعال تجاری مورد توجه محققان قرار گرفته است. امروزه محققان مختلفی از جاذب‌های طبیعی از جمله چیتسون [۱۰]، کربن فعال شده با آهن [۱۱]، خاکستر فرار [۱۲] و سایر جاذب‌ها برای حذف آلاینده‌های آلی و غیر آلی استفاده می کنند. پوکه معدنی (پامیس) یک نوع سنگ آتشفسانی می باشد که در بیشتر نقاط دنیا یافت می شود. این ماده در ایران اغلب در تمام نقاط بخصوص در منطقه اولنیق- آذربایجان به وفور یافت می شود. پوکه معدنی معمولاً به دلیل تخلخل بالا، سبک بوده و در سطح

$$(1) \quad q_e = \frac{(C_0 - C_e)V}{M}$$

که در این رابطه  $C_0$  و  $C_e$  غلظت اولیه و نهایی رنگ در محلول (mg/l) و  $V$  حجم محلول (L) و  $M$  جرم جاذب می باشد (g). برای اندازه گیری غلظت باقیمانده رنگ از دستگاه اسپکتروفوتومتر UV/VIS Shimadzo-1700، (Japan) استفاده گردید. جهت تعیین مدل های ایزوترمی، مقدار ۰/۸ گرم از جاذب به محلول های رنگ RB5 با غلظت های مختلف اضافه گردید. محلول های مورد نظر بروی میکسر با ۱۶۰ rpm قرار داده شد و بعد از ۱۲۰ دقیقه، غلظت های باقی مانده رنگ به روش اسپکتروفوتومتری تعیین مقدار گردید.

#### ایزوترمهای جذب

ایزوترم های جذب، معادلاتی برای تشریح حالت تعادل جزء جذب شونده بین فاز جامد و سیال می باشد. معادله فروندلیج یک معادله تجربی برای جاذب های با سطح ناصاف و برای سیستم هایی که داری یک ماده حل شده می باشد، قابل کاربرد است. مدل لانگمیر برای جذب فیزیکی و تک لایه ای قابل کاربرد می باشد [۱۷]. در این تحقیق دادهای تجربی تعادل جذب با مدل های ایزوترم جذب فروندلیخ و لانگمیر مورد بررسی قرار گرفت که بوسیله روابط زیر نشان داده می شود:

(۲)

$$\frac{c_e}{q_e} = \frac{1}{q_m b} + \frac{1}{q_m} c_e$$

مقدار جزء جذب شده در واحد جرم جسم جاذب بر حسب میلی گرم بر گرم،  $c_e$  غلظت تعادلی ماده جذب شدنی در محلول بعد از جذب سطحی بر حسب میلی گرم بر لیتر،  $q_m$  نشان دهنده ظرفیت جذب و  $b$  ثابت

لانگمیر می باشند که از رسم نمودار  $\frac{c_e}{q_e}$  در مقابل  $c_e$  بدست می آیند. معادله ایزوترم جذب فروندلیخ به صورت معادله (۳) می باشد.

$$\log q_e = \log k_F + \frac{1}{n} \log c_e \quad (3)$$

اصلاح پامیس طبیعی با آهن قسمت عمده پامیس Fe اکسید شده می باشد که ۵۱/۳۳ از ترکیب پامیس را شامل می شود.

#### آماده سازی جاذب پامیس

پامیس مورد استفاده در این پژوهش از منطقه اولنیق- آذربایجان شرقی تهیه گردید. به منظور افزایش تخلخل و زدایش ناخالصی های جاذب مورد استفاده به مدت ۲۴ ساعت در اسید کلریدریک ۰/۱ نرمال قرار داده شد پس از این مدت جاذب مورد استفاده با آب دوبار تقطیر چندین بار شسته شد این کار تا زمانی انجام گرفت تا pH ۷ رسیدو به مدت ۲۴ ساعت در اتوکلاو قرار گرفت. و بعد از آسیاب با الک استاندارد ASTM با شماره ۳۰ مش بندی شد. در ادامه جهت باردار کردن پامیس، ذرات پامیس در محلول کلرید آهن ( $FeCl_3 \cdot 7H_2O$ ) یک مولار قرار داده شد سپس به منظور افزایش جذب آهن بر روی پامیس از محلول اکسید کننده آب ژاول ۱۲٪ که به صورت قطره قطره وارد محلول می شد استفاده گردید. که در این حالت ۲۰ گرم پامیس در ۱۸۰ میلی لیتر NaOH در یک بشر پلاستیکی به مدت ۴۸ ساعت توسط همزن بهم زده شده سپس همزن خاموش شده و پس از سانتریفوژ و صافسازی، پامیس ته نشین شده جدا و با آب مقطر شستشو داده شد و سپس در دمای ۵۰ درجه سانتیگراد خشک گردید این روش با مطالعات سایر محققین نیز مطابقت دارد [۱۱، ۱۶].

#### مطالعات جذب رنگ RB5

جذب رنگ RB5 روی جاذبهای پامیس طبیعی و اصلاح شده با آهن در دمای آزمایشگاه و به صورت ناپیوسته صورت گرفت. ۱۵۰ میلی لیتر از محلول RB5 با غلظت های مختلف (۱-۱۰۰ mg/l) ۷۵-۵۰-۲۵ میلی لیتر ریخته و پس از تنظیم pH را در ارلن های ۲۵۰ میلی لیتر ریخته و پس از مدت ۳، به هر ارلن ۰/۸ گرم از هر جاذب به صورت جداگانه اضافه و روی شیکر قرار داده شد و پس از مدت زمان معین، نمونه ها صاف شده و غلظت باقیمانده رنگ ۵۹۹nm توسط دستگاه اسپکتروفوتومتر در طول موج ۵۹۹nm قرائت گردید. مقدار رنگ جذب شده ( $q_e$ ) (mg/g) توسط رابطه زیر تعیین شد:

### ب) تعیین نقطه pH بهینه

pH یکی از فاکتورهای مهمی است که بر خصوصیات سطحی و بار سطحی جاذب در فرایند جذب تاثیر می‌گذارد. جهت بررسی تاثیر pH محلول رنگ با غلظت اولیه رنگ L در ۵۰ mg/L های ۱۱-۹-۷-۳ تهیه گردیده و سپس ۰/۸ گرم از Pumice به ۱۵۰ سی سی محلول رنگ اضافه شد و بعد از زمان تماس ۹۰ دقیقه غلظت باقی مانده رنگها به روش اسپکتروفوتومتری تعیین مقدار گردید. نتایج حاصل از تاثیر pH در شکل ۲ نشان داده شده است. همانطور که استنباط می‌شود مقدار حداقل جذب در pH های اسیدی بیشتر است و با افزایش pH راندمان حذف و در نتیجه مقدار حداقل جذب رنگ مورد مطالعه در این تحقیق کاهش می‌یابد. pH=۳ نقطه بهینه برای جذب رنگ مورد مطالعه توسط پامیس طبیعی می‌باشد. همانطور که در شکل نشان داده شده است کارائی حذف در pH=۳ ۵۰/۰۶ درصد و در pH=۱۱-۹-۷ به ترتیب در ۳۳/۲۲، ۲۴/۱۴، ۲۴/۰۲ می‌باشد. داده‌های حاصل از این قسمت برای جاذب پامیس اصلاح شده با آهن به دلیل عدم تاثیر نیاورده شده است.

نتایج حاصل از معادلات ایزوترمی در جدول ۲ نشان داده شده است.

$C_e$  غلظت تعادل میلی گرم در لیتر،  $q_e$  ظرفیت جذب در زمان تعادل بر حسب میلی گرم بر گرم و  $k_f$  ثابت‌های فرونالیخ می‌باشند [۱۱]. سرانجام برای آنالیز داده‌ها از نرم افزار Excel استفاده گردید. یافته‌ها

### الف) تاثیر زمان تماس

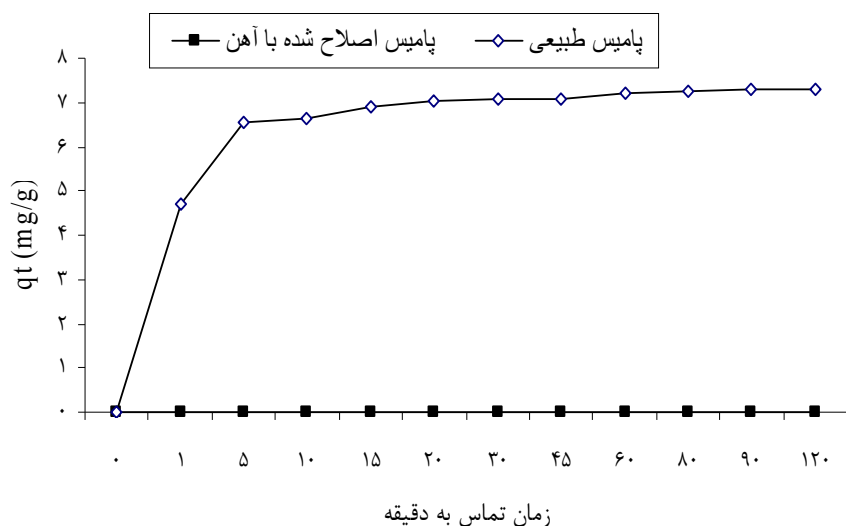
زمان تماس یک متغیر مهم در فرایند جذب می‌باشد. راندمان حذف و ظرفیت جذب با زمان تماس رابطه مستقیم دارد. تاثیر زمان تماس در فواصل زمانی ۱-۱۲۰ دقیقه با غلظت اولیه L ۳ ۵۰ mg/L با دوز ثابت ۰/۸ pH: ۱ نشان داده شده است. همان طور که در شکل ۱ مشخص است برای جاذب پامیس طبیعی با افزایش زمان تماس راندمان حذف افزایش می‌یابد بیشترین راندمان حذف در لحظات اولیه رخ می‌دهد. ولی برای جاذب پامیس اصلاح شده با آهن تغییری آن چنانی صورت نمی‌گیرد. با توجه به شکل ۱ مشخص می‌گردد که جاذب پامیس طبیعی در زمان تماس ۹۰ دقیقه به تعادل می‌رسد.

جدول ۱: مشخصات رنگ مورد استفاده

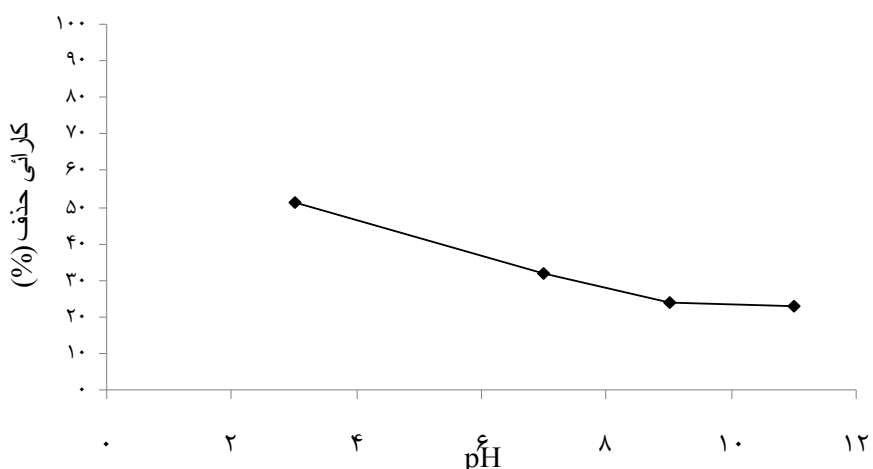
فرمول شیمیایی	کلاس	شماره C.I	وزن مولکولی(g/mol)	(λmax)pH=6	ساختار مولکولی
$C_{22}H_{21}N_2Na_2O_{19}S_6$					
Diazo					
۲۰۵۰۵					
۹۹۱.۸۲					
۵۹۹					

جدول ۲: پارامترهای محاسبه شده برای مدل های ایزوترمی رنگ Reactive Black5

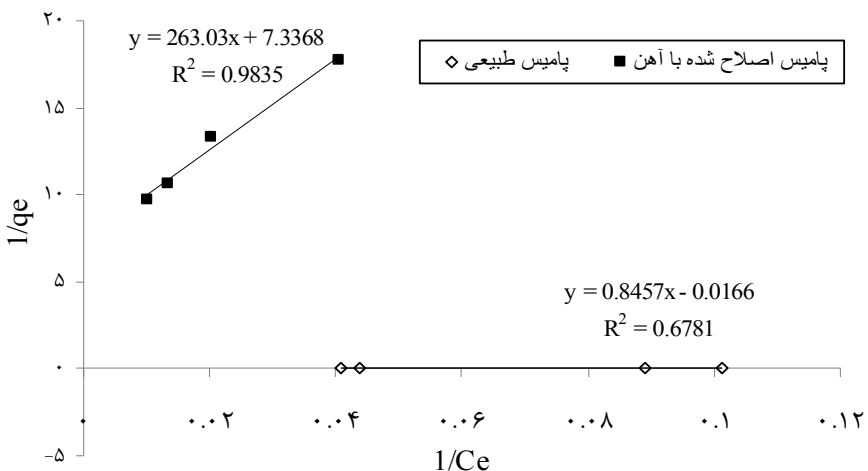
لانگمویر		فروندلیخ		مدل					
R <sub>L</sub>	q <sub>m</sub> (mg/g)	b(L/mg)	R <sup>2</sup>	K <sub>f</sub>	1/n	R <sup>2</sup>	پارامتر	جاذب	پامیس طبیعی
۰/۰۱	۰/۰۰۳	۲۶۳	۰/۶۷	۰/۹	۰/۴۴	۰/۷۵	مقدار	پامیس طبیعی	
۶	۱/۱۸	۰/۸۴	۰/۹۸	۰/۰۱	۱/۲۶	۰/۹۹	مقدار	پامیس اصلاح شده با آهن	



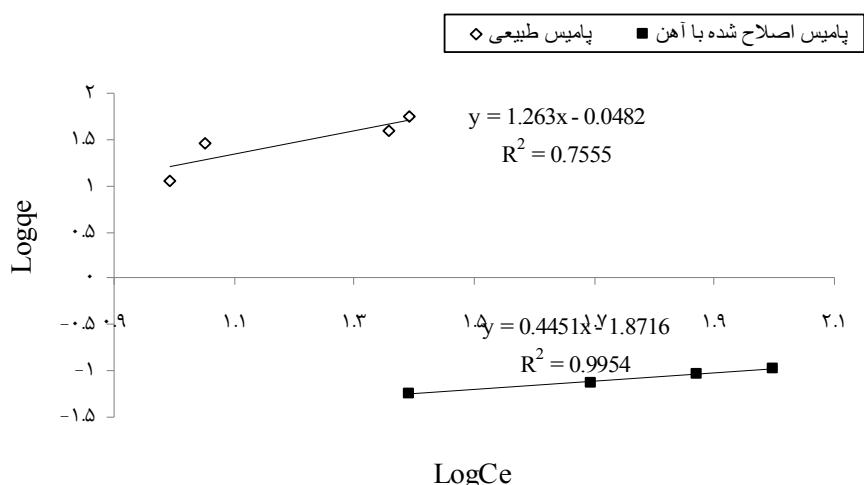
شکل ۱: تاثیر زمان تماس بر روی کارایی حذف RB5 (غلظت اولیه رنگ ۶۰ mg/L، دوز جاذب ۰/۸ گرم، pH=۵)



شکل ۲: تاثیر pH بر روی کارایی حذف RB5 (غلظت اولیه رنگ ۵۰ mg/L، دوز جاذب ۰/۸ گرم و زمان ۹۰ دقیقه)



شکل ۳: مدل ایزوترمی لانگمویر برای مطالعه حاضر



شکل ۴: مدل ایزوترمی فروندلیخ برای مطالعه حاضر

محاسبه شد که نشان دهنده جذب مطلوب رنگ RB5 بر روی جاذب پامیس طبیعی نسبت به پامیس اصلاح شده با آهن می باشد. مقدار  $n/1$  بیانگر شدت جذب سطحی می باشد مساوی صفر باشد برگشت ناپذیر و اگر بین  $0-1$  مطلوب و اگر بالاتر از ۱ باشد نامطلوب است. مقدار  $1/n$  کمتر از ۱ بیانگر جذب ایزوترم فروندلیخ خواهد شد [۱۹]. همچنین با توجه به جدول ۲ مقدار  $1/n$  در رابطه

## بحث

نتایج حاصل از مطالعات ایزوترمی نشان داد که حذف رنگ RB5 با استفاده از پامیس طبیعی و اصلاح شده با آهن به ترتیب از معادله ایزوترمی فروندلیخ ( $R^2 > 0.75$ ) و لانگمویر ( $R^2 > 0.98$ ) پیروی می کند. با توجه به محاسبات انجام شده میزان  $R_L$  جذب RB5 بر روی پامیس معادل  $1/0.0$  و برای پامیس اصلاح شده با آهن  $6$

زياد صورت گرفته و با گذشت زمان تماس مقدار جذب کاهش می یابد که اين امر می تواند به دليل کاهش غلظت رنگ محلول و کاهش نفاط فعل در سطح جاذب باشد چون که در مراحل اوليه جذب مکانهای خالي زيادي در دسترس می باشد و با گذشت زمان اين مکانها توسيط مولکولهای رنگ اشغال می شوند. به طور کلي ظرفيت جذب با افزایش زمان تماس افزایش و در يك زمان مشخص ثابت می ماند و از آن زمان به بعد رنگ محلول حذف نمی گردد. در اين زمان مقدار رنگ جذب شده با مقدار و اجذب شده در حالت تعادل قرار دارد [۲۲، ۱۹]. در تحقیقی که جین و همکاران بر روی حذف رنگ های نساجی با استفاده از پسماند صنایع تولید کودهای شیمیایی انجام داده اند نشان می دهد که بیشترین حذف رنگ در دقایق اولیه صورت می گیرد به طوری که ۵۵ درصد از رنگ مورد مطالعه در کمتر از ۶ دقیقه اول حذف شده است [۲۳]. در تحقیقی که توسط فونگارو روی جذب رنگ آر او ۱۶ با کاربرد جاذب خاکستر فرار انجام داده است نشان می دهد که میزان جذب اين رنگ پس از يك ساعت به شدت کاهش می یابد و بیشترین میزان جذب در ۳۰ دقیقه اول صورت می گیرد [۲۴].

همانطوری که در شکل ۲ نشان داده شده با افزایش pH میزان جذب رنگ RB5 کاهش یافته است و  $pH = ۳$  نقطه بهینه برای جذب می باشد. دليل افزایش کارابی حذف رنگ در pH پائين را می توان با افزایش یون  $H^+$  در محیط  $pH < pH_{pc}$  و افزایش میزان یونهای مثبت بر روی سطح جاذب و افزایش جذب رنگ با بار منفی در سطح را توضیح داد [۲۵]. در پژوهش حاضر رنگ مورد استفاده در محلولهای آبی دارای بار منفی خواهد گردید که اين امر باعث می گردد که کارانی جذب در pH پائين افزایش یابد چرا که در pH پائين سطح پامیس دارای بار pH مثبت خواهد شد. همچنین کاهش ظرفیت جذب در بالا را می توان به دليل رقابت محلهای فعل بوسیله یونهای  $OH^-$  و دافعه الکترواستاتیکی رنگ بوسیله سطح با بار منفی ذکر کرد [۱۳]. در مطالعه ای که پاول و همکاران بر روی جذب رنگهای آنیونی و کاتیونی بر روی خاکستر فرار انجام داده اند مشخص گردیده است که حذف رنگهای کاتیونی با افزایش pH افزایش می یابد در

فروندلیخ برای پامیس طبیعی و اصلاح شده با آهن به ترتیب  $۰/۴۴$  و  $۰/۲۶$  بدست امد که نشان دهنده جذب مطلوب رنگ RB5 ببروی جاذب پامیس طبیعی و جذب نامطلوب بر روی پامیس اصلاح شده با آهن می باشد. در مطالعه ای که توسط خلید بر روی حذف RB5 با استفاده از دو نوع جاذب چیتسون انجام گرفت مشخص گردیده است که مقدار  $K_f$  برای چیتسون نوع اول برابر  $۰/۸$  و برای چیتسون نوع دوم برابر  $۱/۶$  می باشد [۱۰]. با توجه به جدول ۲ مقدار  $K_f$  در مطالعه حاضر برای پامیس طبیعی برابر  $۰/۹$  بدست امد که اين امر نشان می دهد پامیس طبیعی چسبندگی بالاتری برای رنگ RB5 نسبت به چیتسون نوع اول مورد مطالعه خلید دارد. همچنین در مطالعه خلید حداکثر مقدار جذب برای چیتسون نوع اول برابر  $۰/۷$  میلی گرم به ازای هر گرم چیتسون و برای چیتسون نوع دوم برابر  $۰/۸۵$  میلی گرم به ازای هر گرم چیتسون مشاهده شده است [۱۰]. همانطور که در جدول ۲ نشان داده شده است مقدار حداکثر جذب برای مطالعه حاضر  $۱/۱۸$  میلی گرم به ازای هر گرم پامیس طبیعی شده به دست آمد. با توجه به نتایج بدست آمده از آزمایشات ناپیوسته سنتیک فرایند جذب، ایزوترم های جذب و ظرفیت جذب تعیین گردید. با توجه به نتایج حاصل از این تحقیق مشخص می گردد که با افزایش غلظت تعادلی رنگ، ظرفیت تعادلی جذب یتدرج افزایش پیدا می کند که دليل این امر را می توان به دليل دسترسی آسان محلهای جذب در لحظات اولیه فرایند اشاره کرد. بنابراین با افزایش غلظت اولیه رنگ محلهای جذب اشباع شده و سطح اشباع شده دیگر محلهای جذب بیشتری برای دسترسی جذب وجود نخواهد داشت [۲۰].

نتایج حاصل از آزمایشات نشان می دهد که با افزایش مدت زمان تماس، مقدار جذب افزایش می یابد و به حداکثر خود می رسد که این امر برای جاذب پامیس در زمان  $۹۰$  دقیقه رخ می دهد و برای پامیس اصلاح شده با آهن مقدار جذب خیلی کمی رخ می دهد که قابل اغماص می باشد که این امر را می توان به خاطر جذب فیزیکی RB5 بر روی جاذب نسبت داد چون که در اثر اصلاح خلل و فرج جاذب مورد نظر پرشده و حذفی صورت نمی گیرد [۲۱]. جذب رنگ RB5 در دقایق اولیه با سرعت

محققین باشد. برخی از این دلایل عبارتند از: ۱- ارزان بودن پامیس - ۲- عدم نیاز به احیای پامیس به دلیل اینکه پامیس مصرف شده در حذف آلاینده‌ها به راحتی می‌تواند در موارد دیگری بدون ایجاد خطر مورد استفاده قرار گیرد - ۳- منابع طبیعی بیشتر این نوع جاذب نسبت به سایر جاذبهای در این پژوهش کارایی حذف رنگ RB5 از گروه رنگ‌های آزو توسط پامیس طبیعی و پامیس اصلاح شده با آهن مورد بررسی قرار گرفت نتایج پژوهش حاضر نشان داد که کارایی حذف رنگ با افزایش زمان تماس و با افزایش pH اولیه محلول رنگ کاهش می‌یابد. همچنین مشخص شد که میزان چسبندگی رنگ RB5 بر روی پامیس طبیعی زیاد می‌باشد. نتایج حاصل از مطالعات ایزوترمی نشان داد که حذف رنگ RB5 با استفاده از پامیس طبیعی و اصلاح شده با آهن به ترتیب از معادله ایزوترمی فروندولیخ ( $R^2 > 0.98$ ) و لانگمویر ( $R^2 > 0.75$ ) پیروی می‌کند. همچنین در این تحقیق مقدار  $q_m$  بر حسب میلی گرم بر گرم جاذب برای پامیس طبیعی و اصلاح شده با آهن به ترتیب  $1/18$  و  $1/003$  بدست آمد. و با توجه به اینکه از روی رابطه  $R_L$  جاذب پامیس طبیعی به عنوان جاذب مطلوب برای رنگ RB5 تعیین شدند بطور کلی نتایج نتیجه گیری می‌شود که پامیس طبیعی در مقایسه با پامیس اصلاح شده با آهن راندمان بالاتری در حذف رنگ RB5 دارد و می‌توان از پامیس طبیعی به عنوان یک نوع جاذب ارزان قیمت برای حذف رنگ از پسابهای نساجی استفاده کرد.

## Reference

- Qu B, Zhou J, Xiang X, Zheng C, Zhao H, Zhou X, Adsorption behavior of Azo Dye CI Acid Red 14 in aqueous solution on surface soils, Journal of Environmental Sciences 2008; 20(6): 704-9.
- Crini G, Badot PM. Application of chitosan, a natural aminopolysaccharide, for dye removal from aqueous solutions by adsorption processes using batch studies: A review of recent literature, Progress in Polymer Science 2008; 33(4): 399-447.
- Kritikos DE, Xekoukoulakis NP, Psillakis E, Mantzavinos D, Photocatalytic degradation of reactive black 5 in aqueous solutions: Effect of operating conditions and coupling with ultrasound irradiation, Water research 2007; 41(10): 2236-46.
- Çolak F, Atar N, Olgun A. Biosorption of acidic dyes from aqueous solution by Paenibacillus macerans: Kinetic, thermodynamic and equilibrium studies, Chemical Engineering Journal 2009; 150(1): 122-30.
- Mok YS, Jo JO, Whitehead JC, Degradation of an azo dye Orange II using a gas phase dielectric barrier discharge reactor submerged in water, Chemical Engineering Journal 2008; 142(1): 56-64.
- Aksu Z. Reactive dye bioaccumulation by Saccharomyces cerevisiae, Process Biochemistry 2003; 38(10): 1437-44.

حالی که با کاهش pH حذف رنگ‌های آنیونی افزایش می‌یابد. باردارشدن جاذب خاکستر فرار با بارهای منفی در pH بالا و همچنین باردارشدن سطح جاذب خاکستر فرار با بارهای مثبت در مقادیر pH پائین، باعث گردیده است که رنگ‌های کاتیونی در pH بالا و رنگ‌های آنیونی در pH پائین حذف گردد [۱۲].

## نتیجه گیری

پامیس یک نوع سنگ آتشفسانی سبک، متخلخل و ارزان می‌باشد. پامیس اولیه و یا اصلاح شده به عنوان بستر فیلتراسیون، به عنوان کاتالیست هتروژن و یا بستری برای رشد میکروبها و همچنین به عنوان یک نوع جاذب ارزان قیمت در تصفیه آب و فاضلاب کاربرد دارد. مزایای پامیس نسبت به سایر بسترهای مورد استفاده از قبیل شن و یا کربن فعال در این است که پامیس دارای تخلخل بالایی بوده (منافذ حجمی بیش از ۸۵ درصد) و دارای سطح مخصوص بالایی (در حدود ۵ تا ۳۰ متر مربع به ازای هر گرم) می‌باشد. سطح مخصوص بالای پامیس این امکان را به محقق می‌دهد که بتواند از این ماده طبیعی به عنوان یک جاذب برای جذب سطحی آلاینده‌های آب و فاضلاب و هوا استفاده کند. همچنین به دلیل بالا بودن سطح مخصوص ویژه، امکان تثبیت کاتالیست بیشتری بروی پامیس وجود دارد که کارایی این ماده را در فرآیندهای کاتالیستی برای حذف انواع آلاینده جذابتر می‌کند. در ایران در مناطق مختلفی انواع مختلفی از جاذبهای یافت می‌شود ولی به نظر می‌رسد که پامیس نسبت به سایر جاذبهای طبیعی ایران دارای جذابیت بیشتری برای ultrasound irradiation, Water research 2007; 41(10): 2236-46.

4. Çolak F, Atar N, Olgun A. Biosorption of acidic dyes from aqueous solution by Paenibacillus macerans: Kinetic, thermodynamic and equilibrium studies, Chemical Engineering Journal 2009; 150(1): 122-30.

5. Mok YS, Jo JO, Whitehead JC, Degradation of an azo dye Orange II using a gas phase dielectric barrier discharge reactor submerged in water, Chemical Engineering Journal 2008; 142(1): 56-64.

6. Aksu Z. Reactive dye bioaccumulation by Saccharomyces cerevisiae, Process Biochemistry 2003; 38(10): 1437-44.

7. Atia AA, Donia AM, Al-Amrani WA, Adsorption/desorption behavior of acid orange 10 on magnetic silica modified with amine groups, *Chemical Engineering Journal* 2009; 150(1): 55-62.
8. Jiraratananon R, Sungpet A, Luangsowan P, Performance evaluation of nanofiltration membranes for treatment of effluents containing reactive dye and salt, *Desalination* 2000;130(2):177-83.
9. Davis TA, Volesky B, Mucci A, A review of the biochemistry of heavy metal biosorption by brown algae, *Water research* 2003;37(18):4311-30.
10. Elwakeel KZ, Removal of Reactive Black 5 from aqueous solutions using magnetic chitosan resins, *Journal of hazardous materials* 2009;167(1-3):383-92.
11. Zhang N, Lin LS, Gang D, Adsorptive selenite removal from water using iron-coated GAC adsorbents, *Water research* 2008;42(14):3809-16.
12. Janos P, Buchtova H, Ryznarova M, Sorption of dyes from aqueous solutions onto fly ash, *Water research* 2003;37(20):4938-44.
13. Kitis M, Karakaya E, Yigit NO, Civelekoglu G, Akcil A, Heterogeneous catalytic degradation of cyanide using copper-impregnated pumice and hydrogen peroxide, *Water research* 2005;39(8):1652-62.
14. Kitis M, Kaplan S, Karakaya E, Yigit N, Civelekoglu G, Adsorption of natural organic matter from waters by iron coated pumice, *Chemosphere* 2007;66(1):130-8.
15. Akbal F, Adsorption of basic dyes from aqueous solution onto pumice powder, *Journal of colloid and interface science* 2005;286(2):455-8.
16. Epolito WJ, Yang H, Bottomley LA, Pavlostathis SG. Kinetics of zero-valent iron reductive transformation of the anthraquinone dye Reactive Blue 4, *Journal of hazardous materials* 2008;160(2-3):594-600.
17. Dogan M, Alkan M, Demirbas O, Ozdemir Y, Ozmetin C, Adsorption kinetics of maxilon blue GRL onto sepiolite from aqueous solutions, *Chemical Engineering Journal* 2006;124(1-3):89-101.
18. Bhatnagar A, Kumar E, Sillanpää M, Nitrate removal from water by nano-alumina: Characterization and sorption studies, *Chemical Engineering Journal* 2010; 163(3): 317-323.
19. Karadag D, Akgul E, Tok S, Erturk F, Kaya MA, Turan M, Basic and reactive dye removal using natural and modified zeolites, *Journal of Chemical & Engineering Data* 2007;52(6):2436-41.
20. Kumar E, Bhatnagar A, Kumar U, Sillanpää M, Defluoridation from aqueous solutions by nano-alumina: Characterization and sorption studies, *Journal of Hazardous Materials* 2010; 186(2-3):1042-1049.
21. Liu H, Li G, Qu J, Degradation of azo dye Acid Orange 7 in water by Fe0/granular activated carbon system in the presence of ultrasound, *Journal of Hazardous Materials* 2007;144(1-2):180-6.
22. Renganathan S, Kalpana J, Dharmendra Kumar M, Velan M, Equilibrium and Kinetic Studies on the Removal of Reactive Red 2 Dye from an Aqueous Solution Using a Positively Charged Functional Group of the *Nymphaea rubra* Biosorbent, *CLEAN–Soil, Air, Water* 2009;37(11):901-7.
23. Bhatnagar A, Jain A, Mukul M, Removal of congo red dye from water using carbon slurry waste, *Environmental Chemistry Letters* 2005;2(4):199-202.
24. Singh KP, Mohan D, Sinha S, Tondon G, Gosh D, Color removal from wastewater using low-cost activated carbon derived from agricultural waste material, *Industrial & engineering chemistry research* 2003;42(9):1965-76.
25. Maleki A, Mahvi AH, Ebrahimi R, Zandsalimi Y, Study of photochemical and sonochemical processes efficiency for degradation of dyes in aqueous solution, *Korean Journal of Chemical Engineering* 2007; 27(6):1805-1810.

**Original Article**

## Comparing efficiency natural pumice and modified with iron in removal Reactive Black5 dye

Mesdaghinia A<sup>1</sup>, Mahvi AH<sup>2</sup>, Fazlzadeh M<sup>3</sup>, Dehghani MH<sup>4</sup>, Heibati B<sup>5\*</sup>, Sam Daliri Z<sup>6</sup>, Aghanejad<sup>7</sup> M

1 Professor, Department of Environmental Health Engineering, School of Health, Tehran University of Medical Sciences, Tehran, Iran

2 Assistant Professor, Department of Environmental Health Engineering, School of Health, Tehran University of Medical Sciences, Tehran, Iran

3M.Sc of Environmental Health Engineering, School of Health, Ardabil University of Medical Sciences, Ardabil, Iran

4 Associate Professor, , Department of Environmental Health Engineering, School of Health, Tehran University of Medical Sciences, Tehran, Iran

5 Department of Environmental Health, School of Health, Ardabil University of Medical Sciences, Ardabil, Iran

6 Young Researchers Club, Chaloos Branch, Islamic Azad University, Chaloos, Iran

7 M.Sc of Environmental Health Engineering, School of Health, Tehran University of Medical Sciences, Tehran, Iran

---

**\*Correspondence Author:**

Department of Environmental Health Engineering, School of Health, Tehran University of Medical Sciences, Tehran, Iran  
Email: bheibati@gmail.com

---

**Abstract**

**Background & Objectives:** Industrial effluents, especially textile industry are one of the major sources from environmental pollution. The purpose of this study removal Reactive Black5 (RB5) dye with using natural pumice and modified with iron and is determined equilibrium constant.

**Material & Methods:** Futures and morphological characteristics of natural pumice and modified with iron was determined via X-Ray diffraction (XRD) and SEM techniques.

**Results:** In this study, the optimum pH was 3. The results showed that the adsorption of RB5 dye with natural pumice and modified with iron were fitted Freundlich ( $R^2>0.75$ ) and Langmuir ( $R^2>0.98$ ) isotherm equation. Langmuir models the maximum dye adsorption capacity using natural pumice and modified with iron 1.18 and 0.003 mg/g of adsorbent was obtained.

**Conclusion:** Overall results of this study showed that efficiency removal RB5 with pumice modified with iron in comparison with natural pumice is lower and can be from natural pumice as an inexpensive and effective adsorbent to remove azo dyes from textile wastewater used.

**Key Words:** Reactive Black5, modified Pumice, Freundlich and Langmuir Isotherm

---

**Submitted:**2012 May 7

**Revised:**2012 Jul 17

**Accepted:**2012 Aug 15